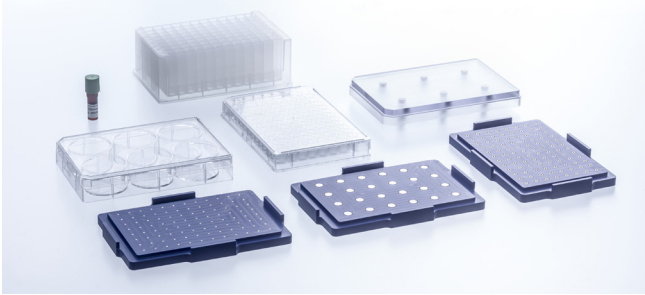
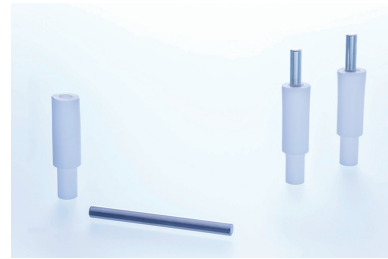


Consommables M3D



MagPen



Stylo magnétique permettant la manipulation individuelle des sphéroïdes formés et le transfert individuels.

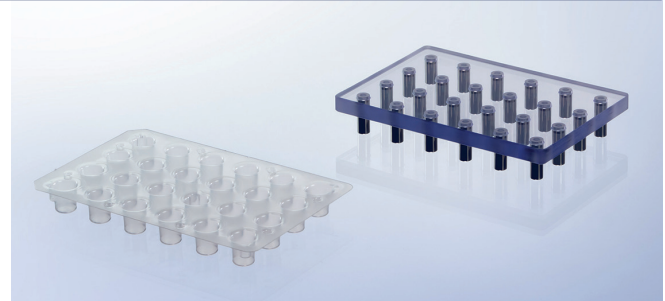
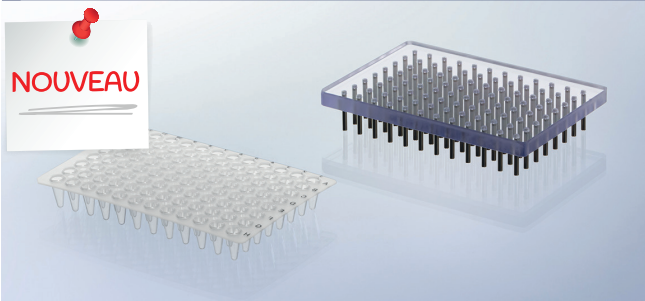
Billes magnétiques Nanoshuttle™PL

Réf.	Désignation	Unités/sachet	Unités/carton	€/carton
657841	Billes magnétiques Nanoshuttle™PL, tube de 600 µl	1	1	NC -
657843	Billes magnétiques Nanoshuttle™PL, tube de 600 µl	1	3	NC -
657846	Billes magnétiques Nanoshuttle™PL, tube de 600 µl	1	6	NC -
657852	Billes magnétiques Nanoshuttle™PL, tube de 600 µl	1	12	NC -

Réf.	Désignation	Unités/sachet	Unités/carton	€/carton
657850	MagPen stylos aimantés	1	3	NC -



Multi-MagPen 24 et 96 puits



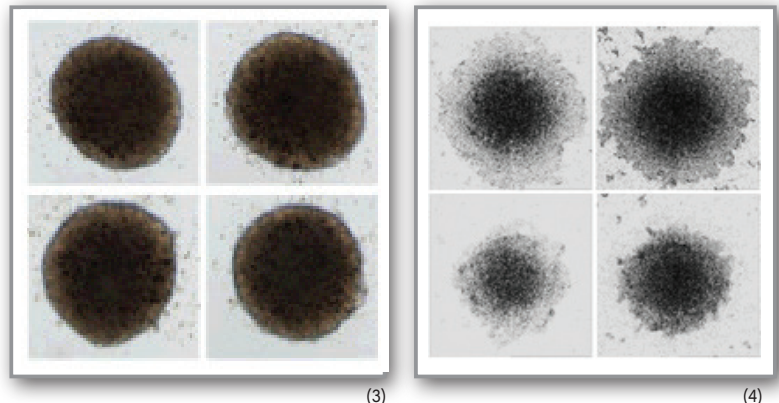
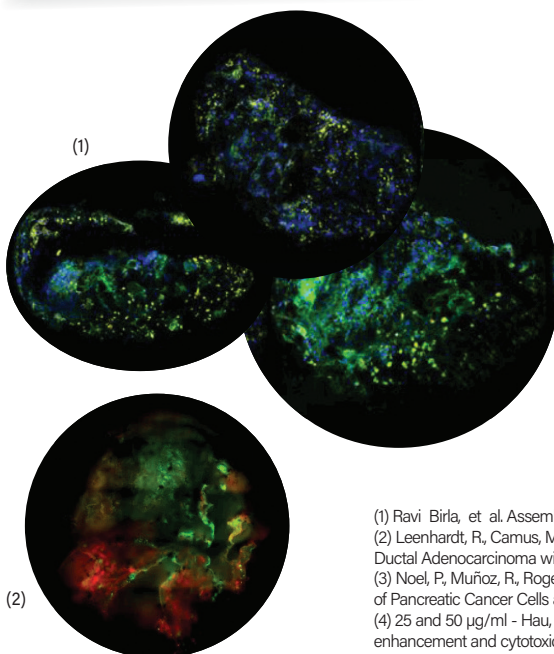
- Transfert rapide, facile et simultané de plusieurs sphéroïdes sans pipetage
- Changement simple de milieu par pick up-and-drop
- Idéal pour faciliter la coloration immunohistochimique, l'inclusion et le lavage des sphéroïdes
- Centrage aisé des sphéroïdes lors du dépôt sur une couche d'hydrogel

Réf.	Format	Désignation	Contenu	€ le kit
657824	24 puits	Kit Multi-MagPen 24 puits	1 x Aimant Multi-MagPen 24 puits transparent, non stérile 2 x Aimant Multi-MagPen Sleeve 24 puits transparent, PET, transparent, stérile, Cell Repellent	NC -
657896	96 puits	Kit Multi-MagPen 96 puits	1 x Aimant Multi-MagPen 96 puits transparent, non stérile 2 x Aimant Multi-MagPen Sleeve 96 puits transparent, PET, transparent, stérile, Cell Repellent	NC -
651524	24 puits	Multi-MagPen Sleeve 24 puits	10 x Multi-MagPen Sleeve 24 puits, PET, transparent, Cell Repellent, emballage individuel	NC -
651596	96 puits	Multi-MagPen Sleeve 96 puits	10 x Multi-MagPen Sleeve 96 puits, PP, transparent, Cell Repellent, emballage individuel	NC -



Nos solutions, vos résultats

Votre contact spécialiste
Carine BARDOU
Port. 07 63 62 20 58
cbardou@dutscher.com



(1) Ravi Birla, et al. Assembly of a functional 3D primary cardiac construct using magnetic levitation, AIMS Bioengineering, 3(3): 277-288 (2016)
 (2) Leenhardt, R, Camus, M, Mestas, J.L. et al. Ultrasound-induced Cavitation enhances the efficacy of Chemotherapy in a 3D Model of Pancreatic Ductal Adenocarcinoma with its microenvironment. Sci Rep 9, 18916 (2019).
 (3) Noel P, Muñoz, R, Rogers, G. W, Neilson, A, Von Hoff, D. D, Han, H. Preparation and Metabolic Assay of 3-dimensional Spheroid Co-cultures of Pancreatic Cancer Cells and Fibroblasts. Vis. Exp. (126), e56081, doi:10.3791/56081 (2017).
 (4) 25 and 50 µg/ml - Hau, H, Khanal, D, Rogers, L, Suchowerska, N, Kumar, R, Sridhar, S, McKenzie, D. and Chrzanoski W. (2016). Dose enhancement and cytotoxicity of gold nanoparticles in colon cancer cells when irradiated with kilo- and mega-voltage radiation. Bioengineering & Translational Medicine, 1: 94-102.